

渦輪の運動における仮想運動量

お茶の水大理 大島裕子

§1 はじめに

1974年秋に行なわれた日本物理学会の特別講演において Imai¹⁾は仮想運動量 P 及び仮想角運動量 L の概念を提案された。この論文においては、渦分布だけが存在すると"；特別なばあいだけを考えて、実験的な検証を試みた。

渦分布だけが存在するときの P , L はそれぞれ三次元のとき、

$$P = \frac{\rho}{2} \iiint_V \mathbf{r}^0 \times \boldsymbol{\omega} dV,$$

$$L = -\frac{\rho}{2} \iiint_V \mathbf{r}^2 \boldsymbol{\omega} dV = \frac{\rho}{3} \iiint_V \mathbf{r} \times (\mathbf{r}^0 \times \boldsymbol{\omega}) dV,$$

二次元のとき

$$P = -i \rho \iint_S \boldsymbol{\omega} \cdot \mathbf{z} dS,$$

$$L = -\frac{\rho}{2} \iint_S \boldsymbol{\omega} \cdot \mathbf{r}^2 dS$$

で定義される。ここで V は考えて"；の体積, $\boldsymbol{\omega}$: 渦度, \mathbf{r} : 距離, S : 考えて"；の面積をあらわす。更にこれを三次元空間に存在する渦輪のばあいに通用すると、

$$\rho = \frac{\rho}{2} \Gamma \oint_c \mathbf{r} \times d\mathbf{r} = \rho \Gamma S \quad \dot{\rho} = 0$$

$$\mathcal{L} = -\frac{\rho}{2} \Gamma \oint_c r^2 d\mathbf{r} = -\frac{\rho \Gamma}{2\pi} T \quad \dot{\mathcal{L}} = 0$$

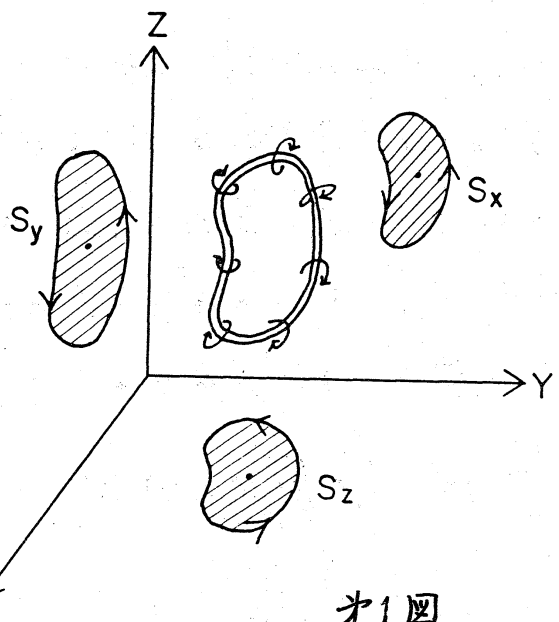
となる。ここで Γ は渦輪の循環, S は $S(S_x, S_y, S_z)$ であらわされる渦輪のそれぞれの方向の射影面積, T は $T(T_x, T_y, T_z)$ でそれぞれの方向での回転体積をあらわす

とする。オ1図。ここでは渦輪の運動の過程で変形しながら、これら ρ, \mathcal{L} がすなわち S, T がどうようにならざるに変化するであろうかをしらべる。

一方渦輪の運動は古くから数多くの研究者によつて理論的にも実験的にもしうべられていて、教科書にもその项があり (Lamb², Batchelor³), 又最近 渦に関する研究が多数の研究者によつて活発になされてゐる。一般に円形の渦輪は各部がそれぞれの渦角より相立つて導速度によつて渦輪平面に垂直に

$$U = \frac{\Gamma}{4\pi r} \log \frac{r}{\epsilon}$$

の速度で進行する。ここで Γ は循環, r は渦輪の半径, ϵ は



オ1図

輪を構成してゐる渦巻自身の半径で δ_{c} としである。

ここでは一つの渦輪の運動では、 S_x だけが時間的にあまり変化せずに diffuse してゆく様子しかとらえられることはできなく仮想運動量の検証の意味を失うので、変形する渦輪について実験を行つた。変形する渦輪各部はその場における曲率半径に反比例するような速度でそれぞれに進行し、三次元的な変形を続けるが、ここでは更に渦巻が一度切れて、他の渦巻と結びかえられるような複雑な変形をするばあいについて考える。これら渦巻のつなぎかえの複雑な現象は、今回問題とすべき仮想運動量の概念一つの検証として他に、いわゆる乱流における渦のふるまいのモデルとしても、流体力学的に興味ある問題と思われる所以、その過程について述べてみたい。又これら現象は、実験的にはほとんど字面解析によつたものであるが、この報告では字面とやることができるので、1連の例をあげるにとどめ、他は字面をもとに図に書きかえたものである。実際の字面については、木及び空気のはあいについて報告された他の論文を参照して頂きたい。(4) ~ (6)

§2 実験方法

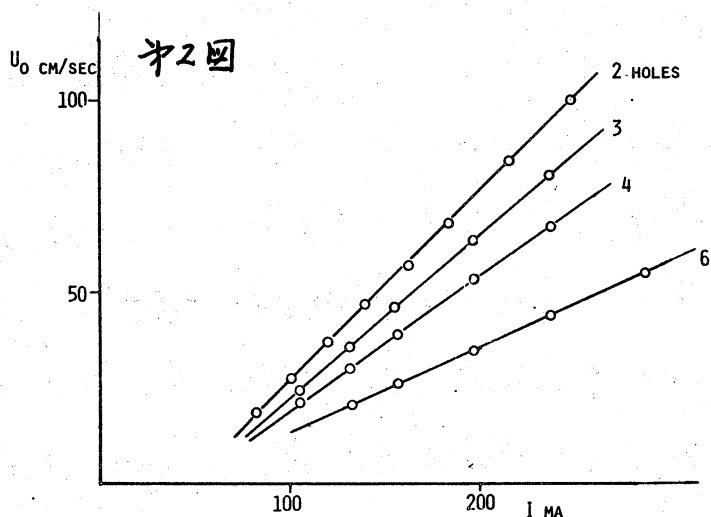
空気中で適当な orifice から空気を短かい時間、パルス的

に吹き出すことによつて, orifice の部分で shear flow ができる。渦度が集中して渦輪がつくられる。空気を短時間吹き出す方法として空気ための空気をピストンで押す方法, orifice の背面の膜を振り子で大きく方法などあるが, 再現性及び初速度の範囲を広く選べるという点から, orifice 後面に低周波用クラウドスピーカーを用いて直流で駆動した。この方法によれば作られる渦輪の

初速度と, スピーカーに流れる電流の関係は
オフ図で示すように線型的に変る。そして約
500mAとなるとスピーカーの振動子の振幅が
電流に追随しなくなつて直線からはずれ, 渦輪の速度が限界に達する。

又同じ図で示されるように, orifice の開口面積に反比例して初速度は小さくなる。初速度は orifice の直径, 形などについて校正曲線を作つてあり, それに従つて任意の速度の渦輪を作る。渦輪の可視化の方法は, スピーカーと orifice の間にあら煙箱の中で, 塩酸とアンモニアを反応させた塩化アンモンの煙を用いた。このようにして作られる渦輪を放去時よりの運動回路によつて作動するモータード

オフ図



ライブカメラで三方向から撮影し、渦輪の変形する様子を解析した。

今回の実験における仮想運動量及び仮想角運動量の時間的な変化を実験的に示すことを目的としており、三方向に変形する渦輪として図3に示すよう二つのお孔から、二つの渦輪が同時に同一平面に放出され、それらが干渉しあって時間的にどのように変形をするかを調べた。ここで同じ図に示すように、渦輪の最初の進行方向をX軸に、それに垂直な平面で水平方向にY軸、鉛直方向にZ軸をとる。原点として二つのお孔の中心Oをとった。実験に使用したお孔の直径 $D = 2.0 \text{ cm}$ 、中心距離 $L = 4.0 \text{ cm}$ で、実験初速度 D_0 は $10 \text{ cm/sec} \sim 50 \text{ cm/sec}$ の範囲である。

$Re = \frac{D_0 D}{\nu}$ で定義されたレイノルズ数は $150 \sim 700$ である。他にばあいとして同一平面より四つのお孔から同時に四つの渦輪が放出される実験がなされたが、その時に $D = 2.0 \text{ cm}$ 、隣りあうお孔の中心間距離 $L = 4.0 \text{ cm}$ とした。これらの L は実験的に渦輪の近接する高さ成分か、お孔が $1/4$ 直径程度の距離に近づいた時から干渉現象が顕著にあらわれるこことによつて決められた。

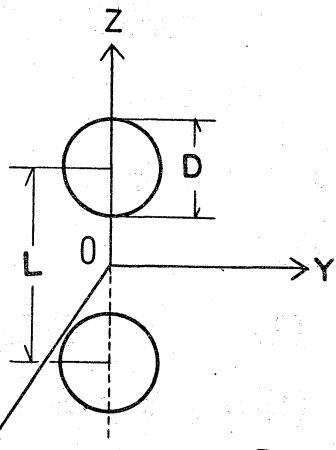


図3

§3 実験結果

二つの渦輪のばあい

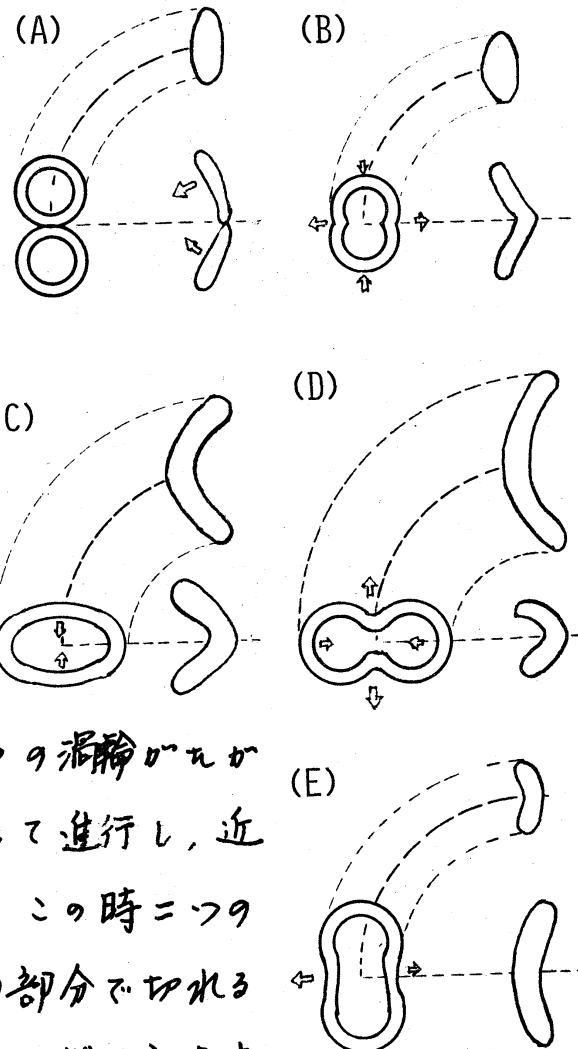
二つの orifice より渦輪が放出されるばあい、初速度 D_0 によつて干涉の様子が異なりおよそ次のようになつて三つに大別される。

(I) 二つの渦輪 \rightarrow 一つの渦輪 オフ図

(図は三方向よりの投影図

を模式的に描いたもので、
左側-X軸、右下-Y軸、
右上-Z軸に沿つてみたも
うで、以下この方法によつ
て描いてある。)

まず同一平面上に放出さ
れ二つの渦輪は、X軸に
近い部分の進行速度が、他
方の渦輪の誘導速度によつ
て減速されて傾くため、二つの渦輪が左か
らに近づくように方向をかえて進行し、近
接した二点で接触する。(A)。この時二つ
輪になつてリバウンドするか、その部分で切れる
と同時に他方の輪の渦糸とつなぎかえをする



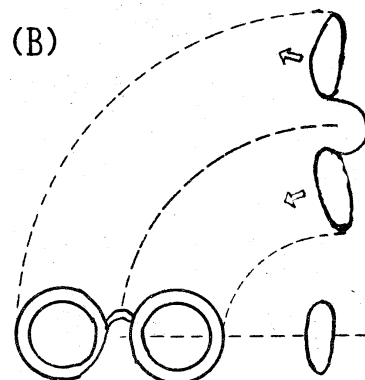
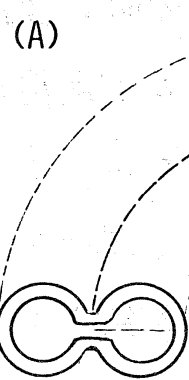
る。この段階で作られた渦輪はX方向に進行のおそいところ
でつよいくびれをもつ一つのゆがんだ渦輪となつてゐる。(B)
そしてこのくびれは曲率が小さいため、その曲率に反比例する
よろ大きさ速度で外側に向いて進行する。この向外側の
各部は、内側に傾いてままの進行を続ける。これをX方向よりみると、YZ平面上Z軸上に並んで二つの渦輪はY軸上に
長径、Z軸上に短径をもつ隨円に近いゆがんだ形となる。(C)
(D)。これ以後は長径と短径をYZ平面上でたがいに交換する
よろ振動を行なひながら、次第に円に近い形となる。
この間X方向にありても、長径部分では早く、短径部分では
ゆっくりといふように、徐々に速度を振動的にかえながら進
行を続けるが、円になつた時には、各部がほぼ一様な速度で
その円の面と直角な方向であるX方向に進行する。このよう
な渦車のつなぎかえをする速度は 約 $U_0 = 17 \text{ cm/sec}$ から
 22 cm/sec の範囲である。

(II) ニつの渦輪 \rightarrow ニつの渦輪

オ5図、オ6図(X方向よりの写真)

近接してつなぎかえを行ない、その曲率にしてから進行
する様子は(I)「ばあ」と同様であるか、放出速度が大きいためYが大きくなり、渦輪各部の進行速度も大きくなる。
そのためはじめの放出の時に、Z軸上に一番遠く距つてある部

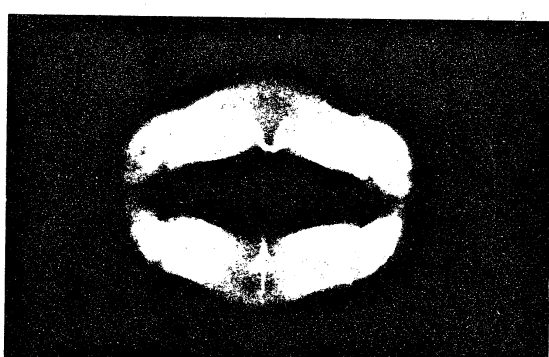
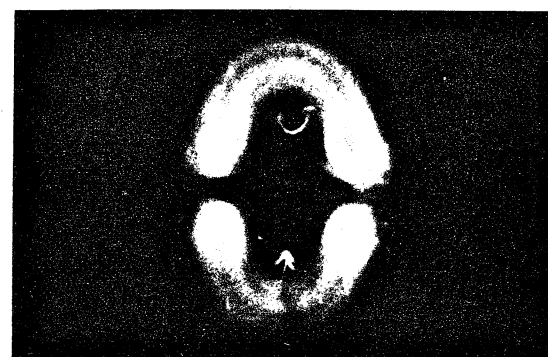
分が、正面から
ぶつかりあうよ
うにして、その
臭でも同様な渦
糸つなぎかえ
を行つて二つの
渦輪をつくる。(A)



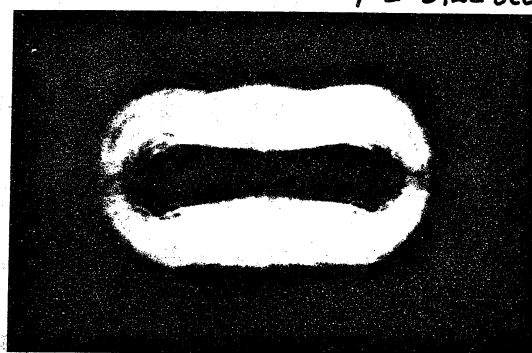
このようにしてはじめ YZ 平面上で Z 軸
にそつて中心のある二つの渦輪は、Y 軸上に中心をもつて
並んで二つの渦輪となり、しかも新しくできた二つの渦輪は、
はじめの渦輪の両方の成分をそれぞれが併せもつてゐる。こ
のため元の二つの渦輪を二色の黒、灰色で着色して区別され
ば、新しくできた渦輪はその各々が半分ずつ黒、灰色で形成
される。しかしオ一とオニの渦糸つなぎかえは、時間的に
非常にわずかしかはなれておらず、この時臭ではオ一のつな
ぎかえをして部分は、オニのつなぎかえをした部分より X 方
向ですつと後方(0 に近い方)にあるので、新しい二つの渦
輪は外側にむけて進行を続け、次オニ二つの渦輪は遠のいて
ゆく。
(B) $D_0 = 23 \text{ cm/sec} \sim 28 \text{ cm/sec}$

(III) 二つの渦輪 \rightarrow 二つの渦輪 \rightarrow 一つの渦輪 オク回

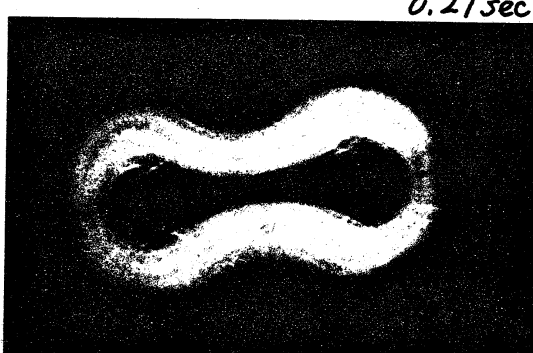
(I), (II) の "あい" と全く同じ経過をたどるが、放出時の初速
度が大きいために、オ一のつなぎかえをした部分の速度が十



$T = 0.22 \text{ sec}$



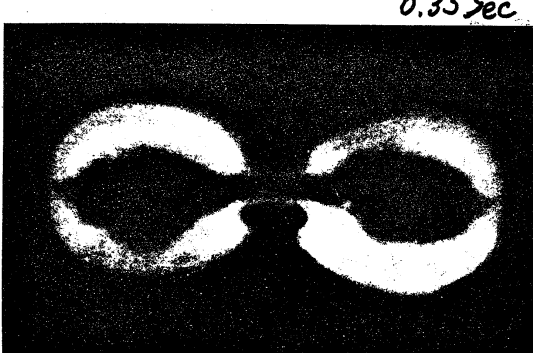
0.27 sec



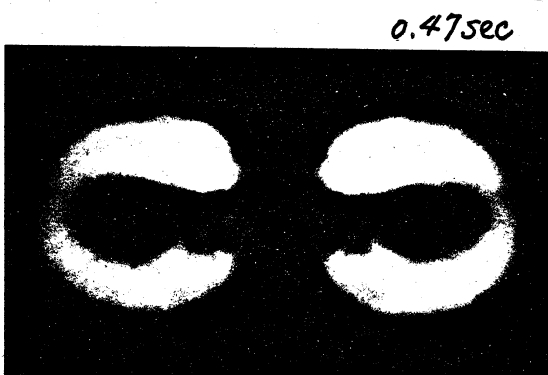
0.32 sec



0.35 sec



0.47 sec



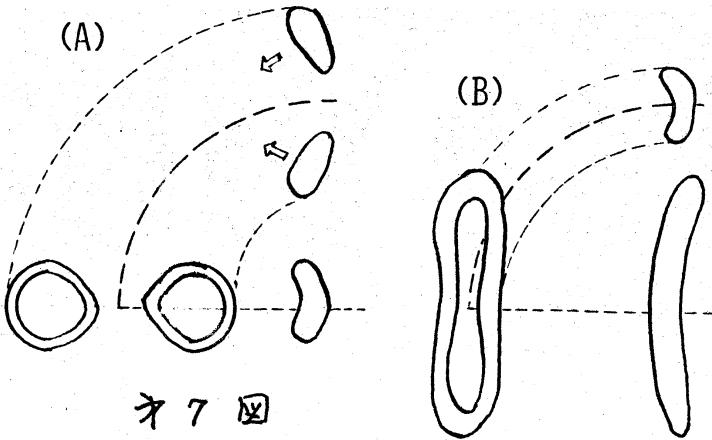
0.54 sec



0.59 sec

† 6 図

分大きく、 $\Omega = 0$
つなぎかえの前後
で X 方向にあくれ
てこの部分が急速
に進行することと、
内側部分がいかが



オフ図

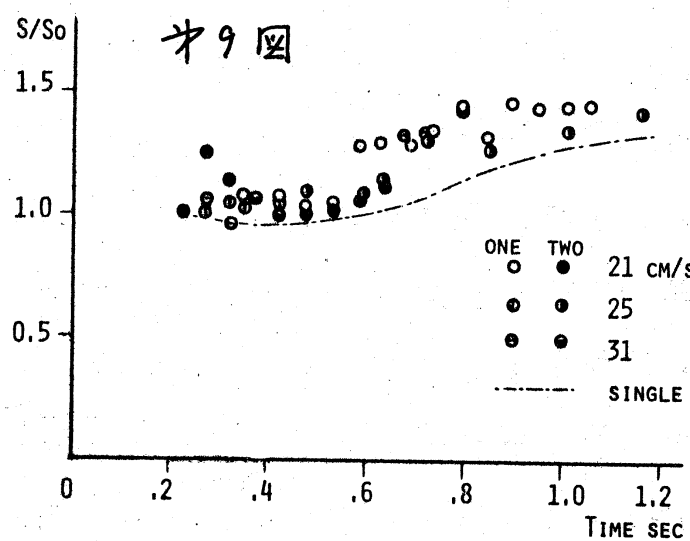
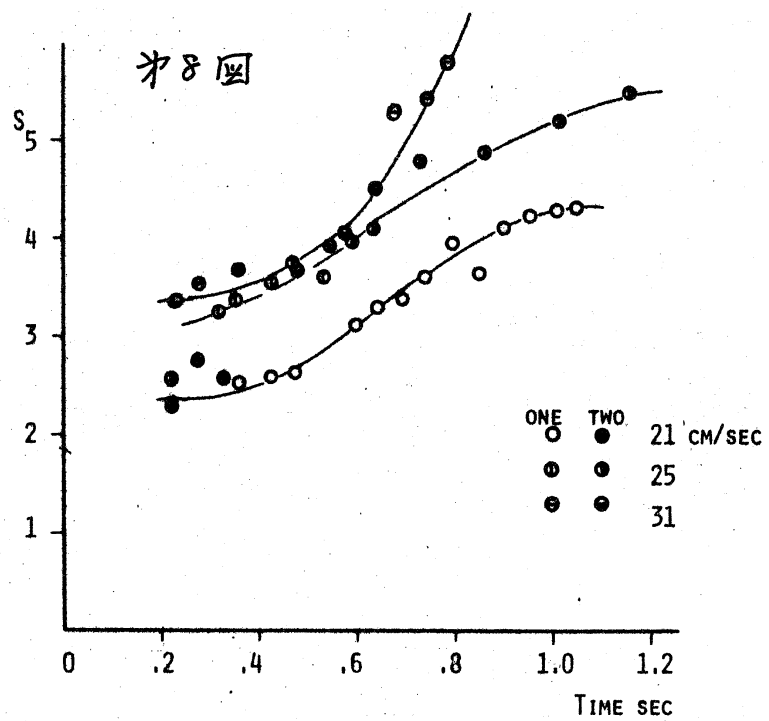
の誘導速度でおそくなることによって、二つの渦輪が外側から徐々に内側に進行方向をかえ、YZ 平面上で Y 軸上に二つ並んで状態、すなわち丁度はじめの放出時と YZ 軸を交換しないで全く同じ状態が再現される。すると今までと同様な過程をたどって、 $\Omega = 0$ つなぎかえとした部分が $\Omega \neq 0$ のつなぎかえを行なつて、Z 軸に長径をもつようゆがんだ一・ツタ渦輪をつくり、YZ 平面内で Y 振動とともに X 軸方向の振動も併せもつような運動を行ないながら、徐々に減衰していく。この間に ω_0 で渦輪の進行速度は小さくなるので $\Omega \neq 0$ のつなぎかえとおこすことは、この実験においては認められなかつた。又そのため初速度を大きくしても、 $\Omega = 0$ 渦率のつなぎかえの際はげしく渦糸どうしがぶつかりあうため折断してしまうつて、きわくなつなぎかえをおこさないし、又更に大きな初速度をまわると、最初の放出時から turbulent を渦輪が形づくられて、つなぎかえの様子を観測することができ

すい。 $D_o > 29 \text{ cm/sec.}$

以上三つのばあいについて X 方向に射影する渦輪の占める面積を測定すると、オ 8 図のようになる。 Y 各方向に対するばあいは、渦率は同じところを逆むきに度るからそれぞれの射影面積は 0 である。

ところで、X 方向のみを考慮すればよい。これは字共から測定値であるから、近づいて来るため立體角が大きくなる効果を補正し、放出時の面積との比をとると

オ 9 図が得られる。同じ図中に破線で示されたのが、一つの渦輪が変形することなく、渦輪平面に垂直に進行するばあいの射

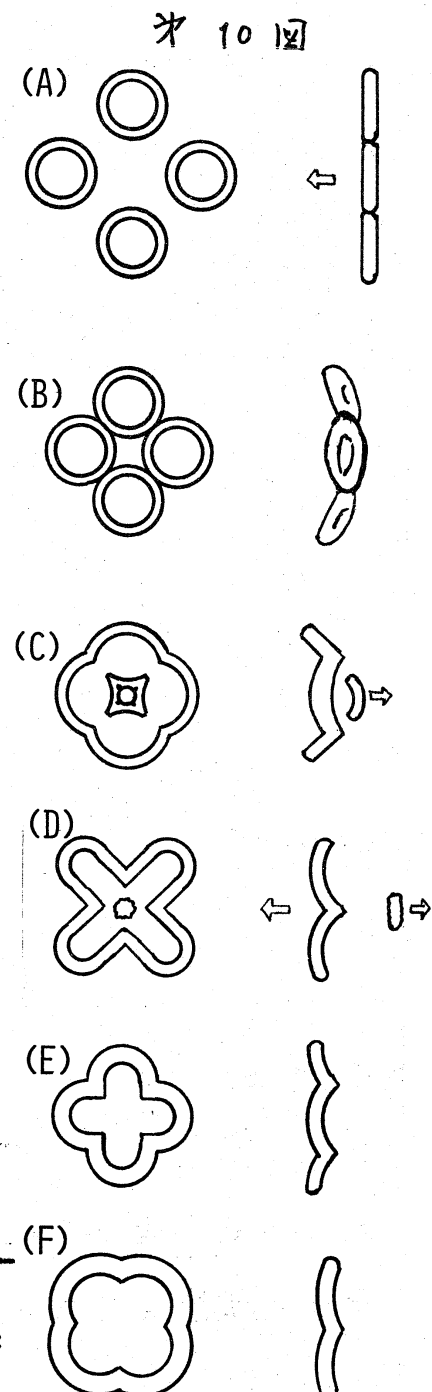
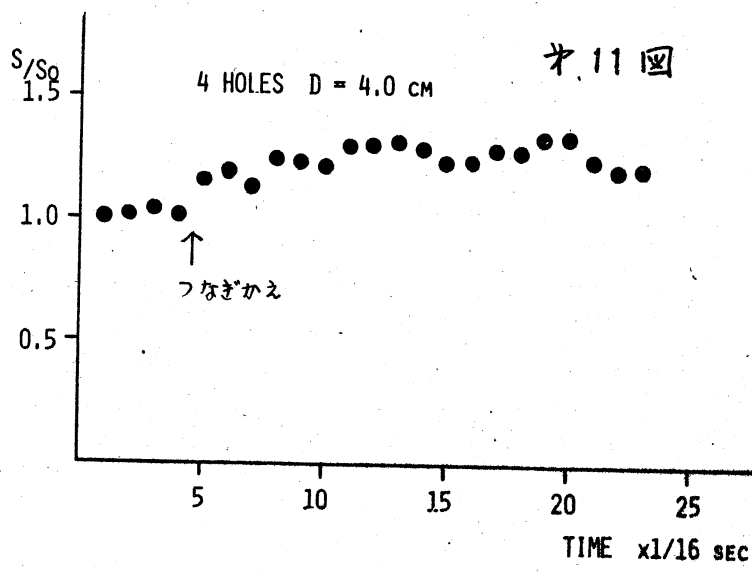


影面積と同じく比であらわしたものである。これによれば、二つの渦輪が渦糸つなぎかえを行つたことで、まわりと拡散現象をより多くおこすためため幾分の射影面積を増加させたことはあるにせよ、一つの渦輪が進行してゆくのに比べてそれ程大きく変つてない。すなはち渦糸つなぎかえによつても復起運動量 P は時間的に変らず、 $\dot{P} = 0$ とみなすことができる。一方復起角運動量につれては、回転体積の不変というりであるが、回転体積はこの方法では求められず。しかしそれを重くは求められ、X方向よりみたときに煙は原点に重へがあり、どんな変形をしても変わらなければ $\dot{\theta} = 0$ とすことができる。

四つの渦輪のばあい $\phi 10$ 図

四つの渦輪が干渉して渦糸つなぎかえを行なうばあいには(A)、四つが相互に誘導速度を及ぼしあって、二つはあゝと同様中心のX軸に近い方へそれぞれか吹きで進行するため同じようなつなぎかえをするが、X軸上まで至らないうちに接触(B)、四つの渦輪がそれぞれ二ヶ所で切れて、残りあつものと結合する。その結果外側には一つの渦輪の約 $3/4$ の渦糸が四本つながって大きな一つの渦輪ができる(C)、そのままの回転方向であるために、同じX軸方向にX字形(D)とそ

の傾きを 45° 回転させて十字形との間を振動的に変形しながら進み(E), 徐々にその振動を減衰させるため, 円形に近づきながら進行を続ける(F)。ところが内側に残された約 $1/4$ の渦巻でつくられた小さな渦輪は, 今までの進行方向と逆の循環を生じるようになりつけられてしまうため, 反対方向に進みはじめると,はじめから大きな円形の渦輪でなく, 進行速度も各部分で異なるため, 環状に保たれるのは非常に短かい時間だけであって, 各部分がたかにぶつかりあうような形で diffuseしてしまつ。この四つのほかの射影面積(X方向)をオタ回と



同様に放出時の射影面積との比で1.7, もう11回である。このばかりに内側に作られた反対方向へ進行する渦輪の射影面積は、反対むきのベクトルであるので差しひかなければならぬ。しかし各時間毎には diffuse にてまとめて見積ることは不可能なので、つなぎかえのすぐあとで内側にできて渦輪の断面積が変化せずに反対方向へ進行したと仮定して同じ量を差しひいてある。この結果つなぎかえをしたところでの差が生じてあるが、時間的にはほとんど一走に保たれていふと見なすことができ、 $\dot{P} = 0$ とすることができる。

34 むすび

以上の実験結果より渦輪の運動における渦度のつなぎかえで、その運動が複雑に変化しても、仮想運動量、仮想角運動量は時間的に不変であることが検証された。勿論この実験において、煙によって可視化された相手の中でもつ渦輪の中のどの部分に渦度が集中し、それをどうやって検出し、又その信頼性がどの程度であるかといふ点で議論の余地があり、又誤差もふくまれていろと思われる。渦度の分布の測定によつて可視化された部分との対応をつけたことを今後の課題としたい。

References

- 1) I.Imai: 日本物理学会 29回年会予稿集 (1974) 14.
- 2) H.Lamb: Hydrodynamics (Cambridge University Press,1932) ch.7
- 3) G.K.Batchelor: An Introduction to Fluid Dynamics (Cambridge University Press,1967) ch.7
- 4) Y.Oshima: Nagare 8-1 (1976) 5.
- 5) Y.Oshima: J.Phy.Soc. Japan 32 (1972) 1125.
- 6) Y.Oshima: Natural Science Rep.Ochanomizu Univ. 26(1975) 31.